

ESTUDIO DE MICROPROCESADORES Y MICROCONTROLADORES

Según Microprocessor 1: Prolegomena (2025), el desarrollo de los microprocesadores y microcontroladores ha sido determinante en la evolución de la computación moderna, al ofrecer soluciones integradas que permiten procesar información de manera eficiente y en tiempo real. Estos componentes son fundamentales para la arquitectura, tiene el propósito de dispositivos inteligentes. Lo microprocesadores están diseñados para ejecutar operaciones complejas, involucrando ciclos de instrucción optimizados y sistemas de gestión de memoria avanzados, como las caches multinivel [1].



Según Philippe Darche (2025), por su parte, los microcontroladores se presentan como soluciones altamente integradas y económicas para tareas específicas. Estos incluyen CPU, RAM, ROM, puertos de entrada/salida, convertidores y temporizadores, todo contenido en un solo chip; su uso es común en automatización industrial, sistemas embebidos, control de sensores y aplicaciones de Internet de las cosas, dado su bajo consumo energético y su capacidad de operar de manera automática [1].



MICROPROCESADOR

ARQUITECTURA BÁSICA

Según Hübner y Becker (2011), la arquitectura de un microprocesador moderno consiste en llevar a cabo múltiples núcleos, cada uno con su propia caché L1 y L2 locales, mientras comparten niveles superiores de caché mediante protocolos de coherencia distribuidos. Esto permite que los datos se muevan eficientemente entre núcleos y memoria, esto ayuda a ir mejorando el rendimiento y la escalabilidad en sistemas multicore. Un ejemplo

completo de este tipo de diseño se presenta en la literatura sobre Multiprocessor System-On-Chip, donde se describe la organización de cache y la coherencia en arquitecturas contemporáneas[2].

Según Calimera et al (2021), además, algunos procesadores modernos utilizan arquitecturas con redes internas o Network.on.Chip (NOC) para poder conectar los núcleos y subsistemas de memoria/periféricos. Las NoC permiten múltiples flujos de datos simultáneos de alta velocidad, evitando los cuellos de botella de los buses tradicionales y mejorando la comunicación interna del sistema[3].



CICLO DE INSTRUCCIONES Y VELOCIDAD

Según Tang et al (2025), el de instrucción fetch, decode, execute, memory access, write-back; se potencia mediante técnicas de pipelining que permiten solapar las etapas de múltiples instrucciones. Algunas herramientas modernas simulan el comportamiento de pipeline a nivel ciclo, mejorando la precisión de análisis de rendimiento mediante frameworks como PipeDBT, que modelan formalmente los estados de pipeline y permiten simular arquitecturas VLIW con precisión de ciclos [4]

Según Rober J. Colvin (2025) dice que dado que la ejecución fuera de orden (out-of-order) y la especulación pueden dejar residuos en cache que representan canales de fuga de información, es esencial modelar formalmente estos comportamientos. Se han desarrollado modelos semánticos estructurales que permiten comprender estas vulnerabilidades y diseñar procesadores seguros y eficientes simultáneamente [5].

- **Búsqueda (Fetch):** El microprocesador recupera la instrucción desde la memoria principal (RAM), accediendo a la dirección indicada por el contador de programa (PC).
- **Decodificación (Decode):** La unidad de control interpreta la instrucción para identificar la operación que debe ejecutarse y los operandos involucrados.
- **Ejecución (Execute):** Se realiza la operación especificada (suma, carga, salto, etc.).

- **Escritura del resultado (Write-back):** El resultado se guarda en un registro o en memoria.

Formula general para el tiempo de ejecución de un programa:

$$\text{Tiempo de ejecucion} = \frac{N^{\circ} \text{ de intrucciones} \times \text{Ciclos por instruccion}}{\text{Frecuencia del reloj}}$$

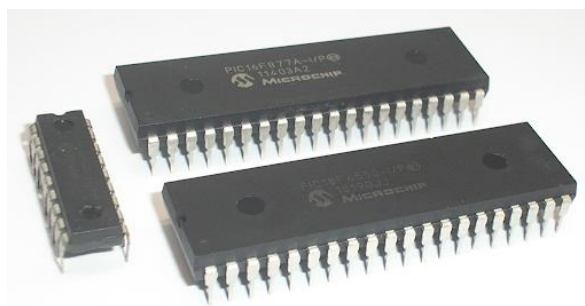
MICROCONTROLADOR

ARQUITECTURA BASICA

Según Proceedings of the ACM/IEEE (2023), la arquitectura de un microcontrolador se basa en la integración del CPU (unidad central de procesamiento), memoria (RAM y ROM); estos son los periféricos de entrada/salida, donde llegan a ser los convertidores analógico-digitales (ADC), y módulos conocidos como la temporización que está dentro de un solo chip. Esta configuración lo convierte en una solución altamente compacta para sistemas embebidos [6].

Sayan Mitra (2023), muestran cómo los diseños modernos pueden llegar a emplear técnicas de mapeo de memoria unificada para mejorar la eficiencia de acceso, así, reduciendo la necesidad de interfaces externas[6].

Según Liu et al (2023), otra característica clave es la inclusión de modos de bajo consumo, se encuentra sleep, Deep sleep e hibernation, especialmente útiles en sistemas alimentados por baterías. Según Liu et al. Los microcontroladores diseñados para aplicaciones de IoT suelen incluir controladores DMA y co-procesadores criptográficos integrados, permitiendo realizar tareas complejas con consumo conocido como energético mínimo [7].



CARACTERISTICAS Y APLICACIONES

Según Ottaviano et al (2024), las Aplicaciones embebidas críticas necesitan que los microcontroladores operen en modos de ultra-bajo consumo (sleep, Deep sleep) y reaccionen rápidamente ante eventos, manteniendo eficiencia energética. Por ejemplo, el sistema EFM32 de Silicon Labs incorpora modos de suspensión profunda con periféricos

Según Barchi et al (2024), En el ámbito de TinyML y sensores inteligentes, se ha demostrado el uso de redes neuronales eficientes implementadas en microcontroladores, optimizando la actividad de spikes y reduciendo significativamente el número de ciclos de computación y consumo de energía en tareas de monitoreo estructura [9].

1. Suma de dos números

Code (Instruction Set)

```
; Suma 5 + 3, guarda el resultado en A y lo muestra en salida

MOV A, 5           ; A = 5
ADD A, 3           ; A = A + 3 → A = 8
MOV D, 232         ; Dirección de salida
MOV [D], A         ; Escribir valor de A en salida
HLT                ; Detener ejecución
```

[illegible]

A 4 Hz = 1.25 segundos

2. Bucle que incrementa A hasta 5

Code (Instruction Set)

```
MOV A, 0
MOV B, 5
.loop:
INC A
CMP A, B
JNZ .loop
HLT
```

[illegible]

CICLO DE INSTRUCCIONES POR VUELTA:

- **INC A** (1 ciclo)
- **CMP A, B** (1 ciclo)
- **JNZ** (1 ciclo)

El bucle se repite **5 veces**, entonces:

- $3 \text{ ciclos} \times 5 = 15 \text{ ciclos}$

Más los **2 primeros (MOV A, MOV B) + HLT: 3 ciclos**

Total: 18 ciclos

VELOCIDAD:

18 ciclos a 1 Hz = 18 segundos

18 ciclos a 4 Hz = 4.5 segundos

3. Contar del 0 al 9 y guardar en memoria

The screenshot shows the Simple 8-bit Assembler Simulator interface. The main window displays the following assembly code:

```
; Cuenta del 0 al 9 y guarda cada número en memoria desde dirección 100
MOV A, 0          ; Contador inicial
MOV D, 100        ; Dirección base de memoria
MOV B, 10         ; Límite superior

.loop:
MOV [D], A        ; Guarda A en memoria[D]
INC A             ; A = A + 1
INC D             ; Avanza a siguiente celda
CMP A, B          ; ¿Llegamos a 10?
JNZ .loop         ; Si no, seguir

HLT              ; Detener program
```

The right sidebar shows the CPU & Memory status. The Registers / Flags section displays the following values:

A	B	C	D	IP	SP	Z	C	F
0A	0A	00	0E	15	07	TRUE	FALSE	FALSE

The RAM section shows a memory dump starting at address 0000, with the value 0A stored at address 100.

ANÁLISIS DEL CICLO:

Instrucciones iniciales (MOV A, MOV D, MOV B) : 3 ciclos

Bucle:

- **MOV** [D], A : 1 ciclo
- **INC** A : 1 ciclo
- **INC** D : 1 ciclo
- **CMP** A, B : 1 ciclo
- **JNZ** .loop : 1 ciclo

El bucle se repite 10 veces, entonces:

- $= 5 \times 10 = 50$ ciclos

HLT : 1 ciclo

Total: $3 + 50 + 1 = 54$ ciclos

VELOCIDAD:

A 1 Hz = 54 segundos

A 4 Hz = 13.5 segundos

4. Comparar 8 y 12, mostrar el mayor

[illegible]

```
; Compara 8 y 12, y escribe el mayor en salida (D=232)

MOV A, 8      ; Primer número
MOV B, 12     ; Segundo número
MOV D, 232    ; Dirección de salida

CMP A, B      ; Compara A y B
JNC a_is_mayor ; Si A >= B, saltar

MOV A, B      ; Si no, A toma valor de B

a_is_mayor:
MOV [D], A    ; Escribir A en salida
HLT
```

Registers / Flags

RAM[illegible]

ANÁLISIS DEL CICLO:

MOV A, 8 : 1 ciclo

MOV B, 12 : 1 ciclo

MOV D, 232 : 1 ciclo

CMP A, B : 1 ciclo

JNC : 1 ciclo

En caso de que $A < B$: se ejecuta MOV A, B : 1 ciclo

MOV [D], A : 1 ciclo

HLT : 1 ciclo

Total: 7 u 8 ciclos (según resultado de comparación)

VELOCIDAD:

A 1 Hz = 7–8 segundos

A 4 Hz = 1.75–2 segundos

- [1] Philippe Darche, "Microprocessor 1: Prolegomena - Calculation and Storage Functions - Models of Computation and Computer Architecture | Wiley eBooks | IEEE Xplore." [Online]. Available: <https://ieeexplore.ieee.org/book/10523213>
- [2] M. Hübner and J. Becker, "Multiprocessor System-on-Chip," *Multiprocessor System-on-Chip: Hardware Design and Tool Integration*, pp. 1–270, 2011, [Online]. Available: <https://link.springer.com/10.1007/978-1-4419-6460-1>
- [3] A. Calimera, P.-E. Gaillardon, K. Korgaonkar, S. Kvatinsky, and R. Reis, Eds., "VLSI-SoC: Design Trends," vol. 621, 2021, doi: 10.1007/978-3-030-81641-4.
- [4] T. Tang, Y. Man, X. Zhou, and D. Wang, "Pipe-DBT: enhancing dynamic binary translation simulators to support pipeline-level simulation," *Automated Software Engineering*, vol. 32, no. 2, pp. 1–35, Nov. 2025, doi: 10.1007/S10515-025-00506-8/TABLES/6.
- [5] R. J. Colvin and R. C. Su, "Structural Operational Semantics for Functional and Security Verification of Pipelined Processors," pp. 363–388, 2025, doi: 10.1007/978-3-031-98668-0_18.
- [6] "Proceedings of the ACM/IEEE 14th International Conference on Cyber-Physical Systems (with CPS-IoT Week 2023) | ACM Conferences." Accessed: Jul. 26, 2025. [Online]. Available: <https://dl.acm.org/doi/10.1145/3576841>
- [7] K. Akhunov, E. Yildiz, and K. S. Yildirim, "Enabling Efficient Intermittent Computing on Brand New Microcontrollers via Tracking Programmable Voltage Thresholds," *ENSys 2023 - Proceedings of the 2023 11th International Workshop on Energy Harvesting and Energy-Neutral Sensing Systems, Part of: SenSys 2023*, vol. 12, pp. 16–22, Nov. 2023, doi: 10.1145/3628353.3628547.
- [8] A. Ottaviano *et al.*, "ControlPULP: A RISC-V On-Chip Parallel Power Controller for Many-Core HPC Processors with FPGA-Based Hardware-In-The-Loop Power and Thermal Emulation," *Int J Parallel Program*, vol. 52, no. 1–2, pp. 93–123, Apr. 2024, doi: 10.1007/S10766-024-00761-4/FIGURES/11.
- [9] F. Barchi, E. Parisi, L. Zanatta, A. Bartolini, and A. Acquaviva, "Energy efficient and low-latency spiking neural networks on embedded microcontrollers through spiking activity tuning," *Neural Comput Appl*, vol. 36, no. 30, pp. 18897–18917, Oct. 2024, doi: 10.1007/S00521-024-10191-5/TABLES/5.